

Data Mining/Machine Learning/ Big Data

What's this ?

Biblio :

Bioinformatics: The Machine Learning Approach, Second Edition (Adaptive Computation and Machine Learning) – 2001 par Pierre Baldi et Søren Brunak

Introduction à la bioinformatique - 2001, par Cynthia Gibas et Per Jambeck. (traduit de l'anglais)

-
- Webs:

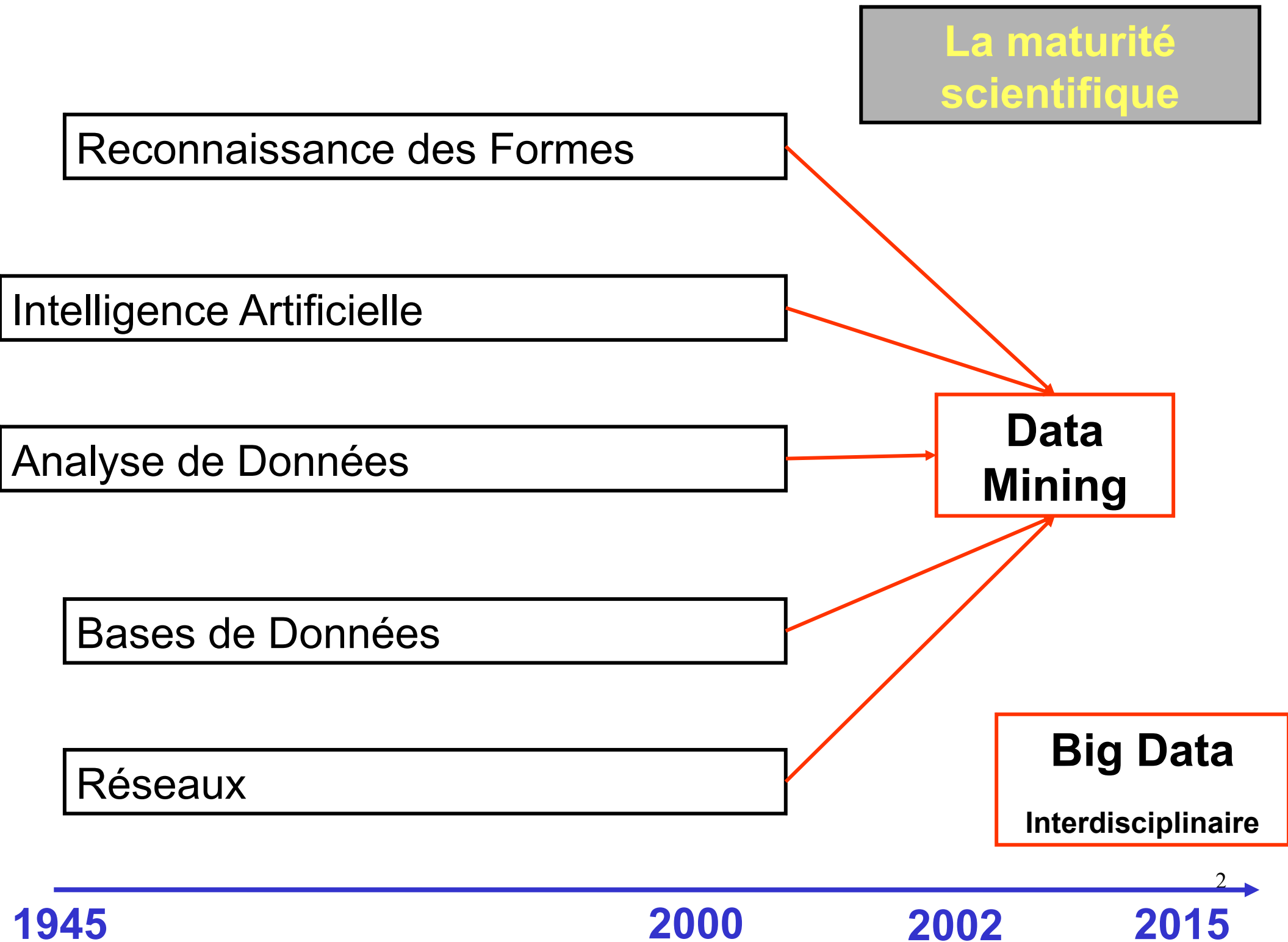
http://chem-eng.utoronto.ca/~datamining/dmc/data_mining_map.htm

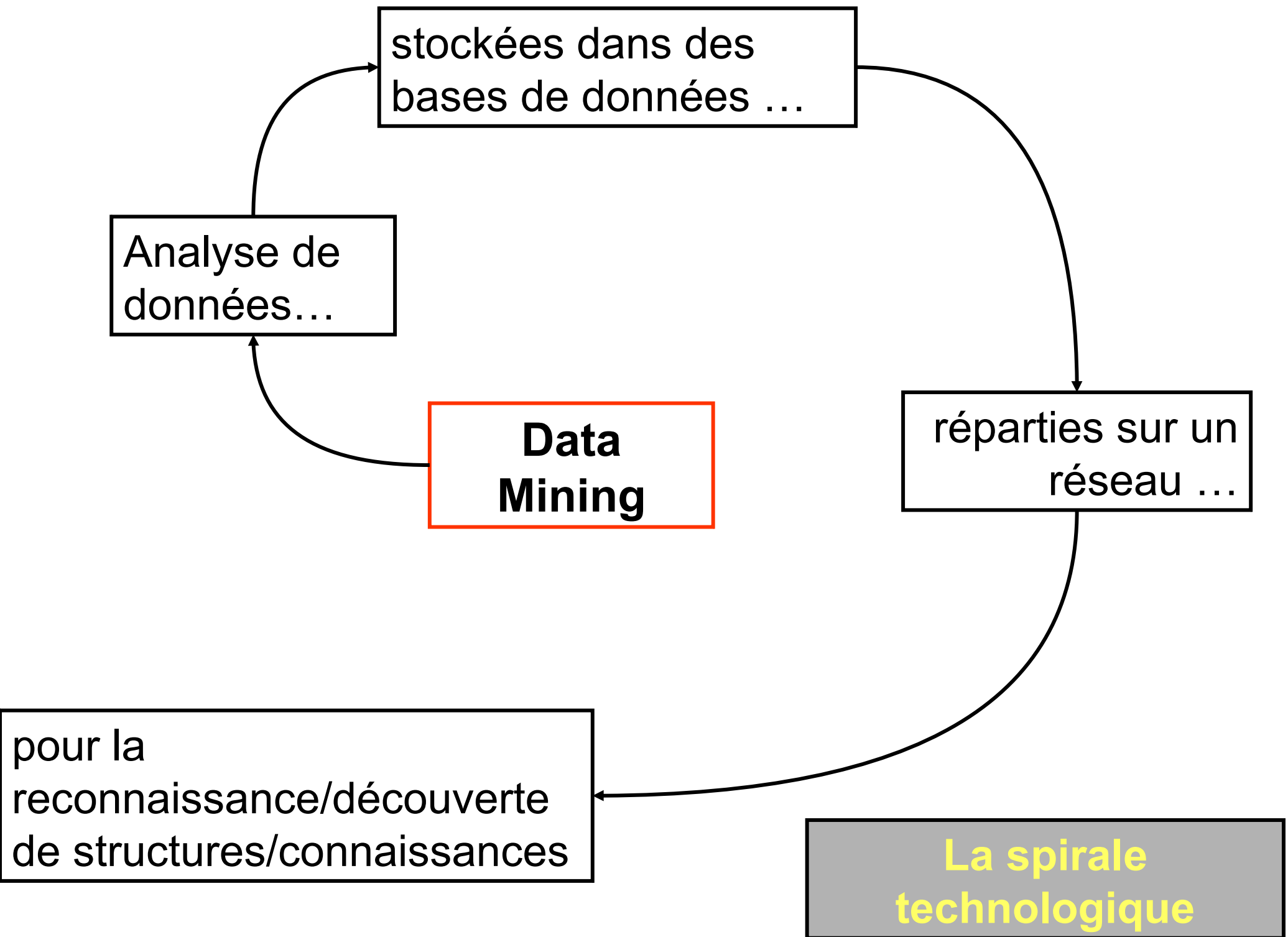
<http://www.plosone.org/article/info%3Adoi%2F10.1371%2Fjournal.pone.0115892>

<http://svmcompbio.tuebingen.mpg.de/>

<http://infolab.stanford.edu/~ullman/pub/book.pdf>

<http://www.math.cmu.edu/~ctsourak/resources.html>





**Exploration
de
données**

**Data
Mining**

**Fouille de
Données**

KDD

?

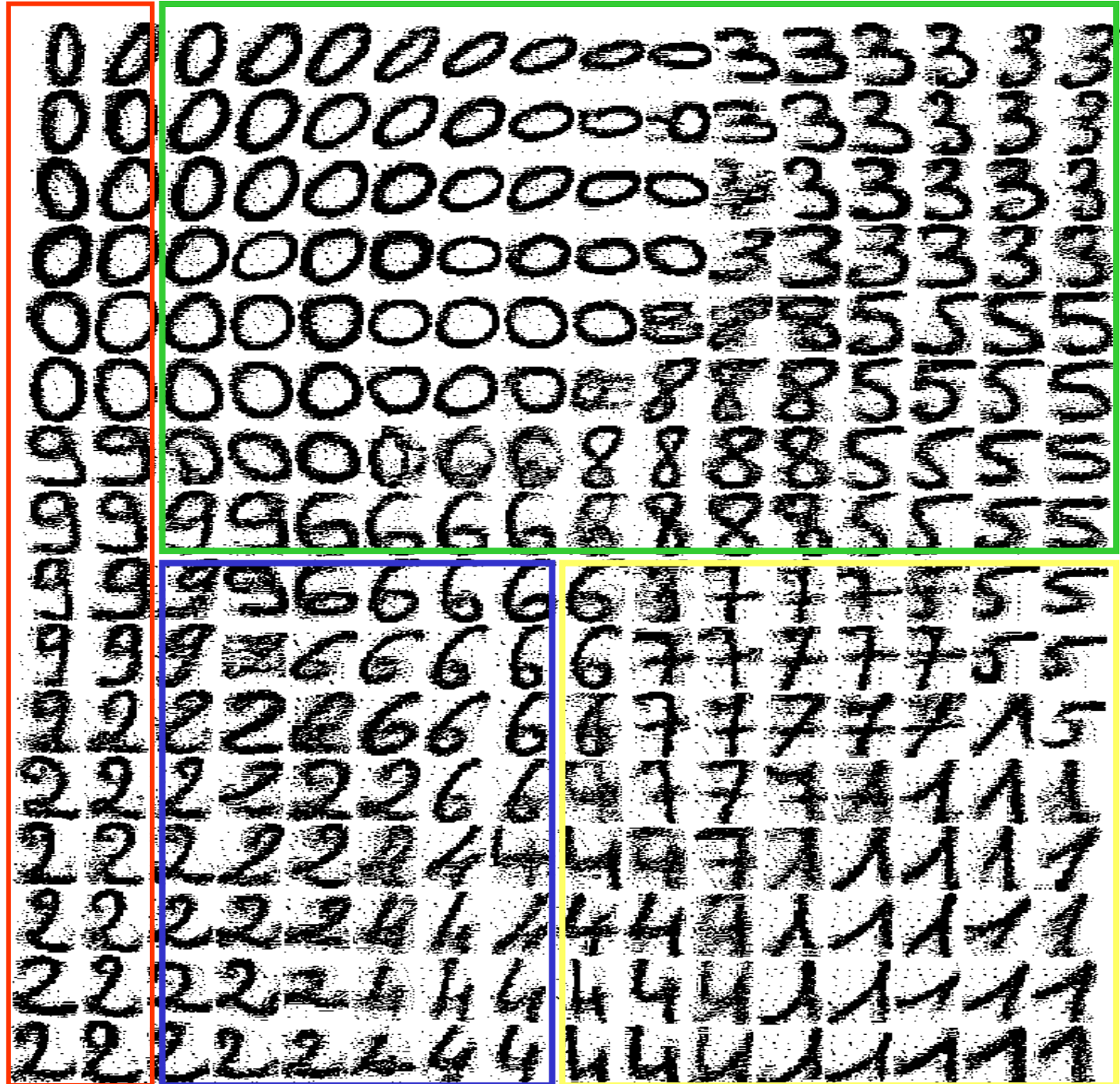
Comment détecter des ressemblances, des structures, des motifs *a priori* ?

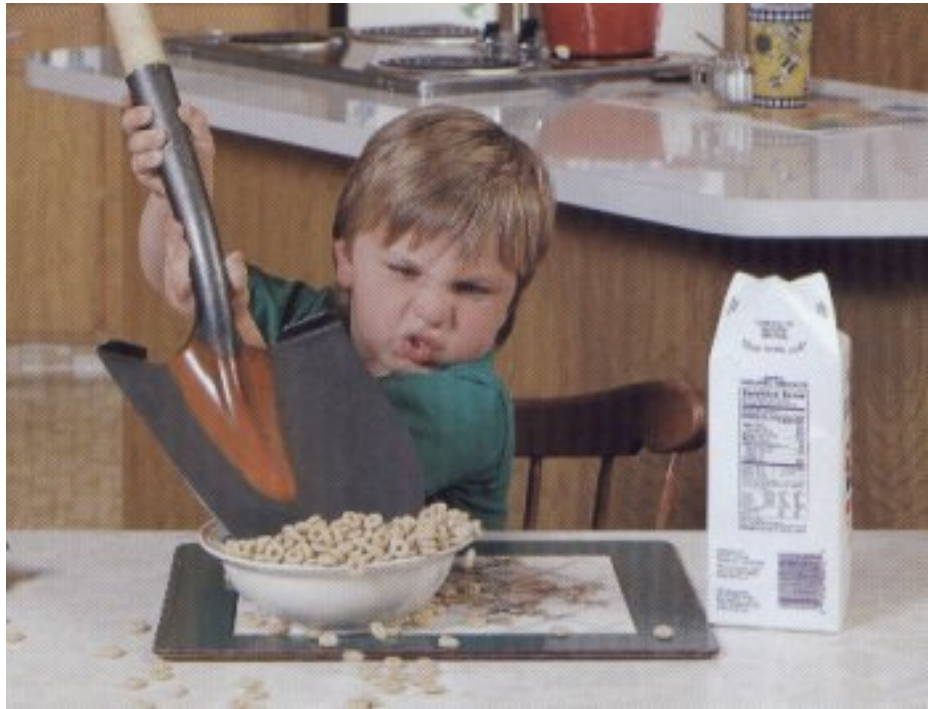
Jean-Paul

Samia

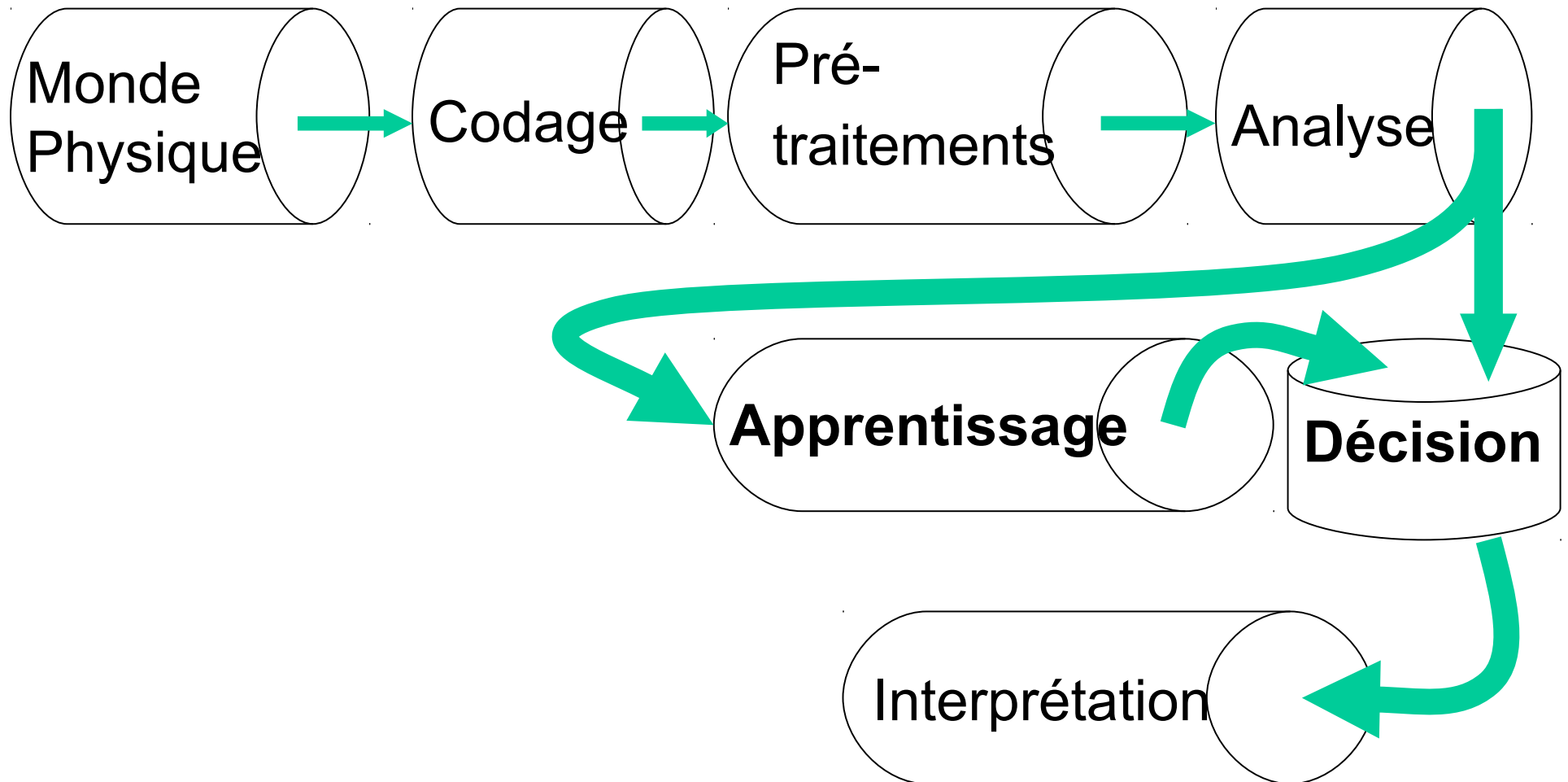
Lin

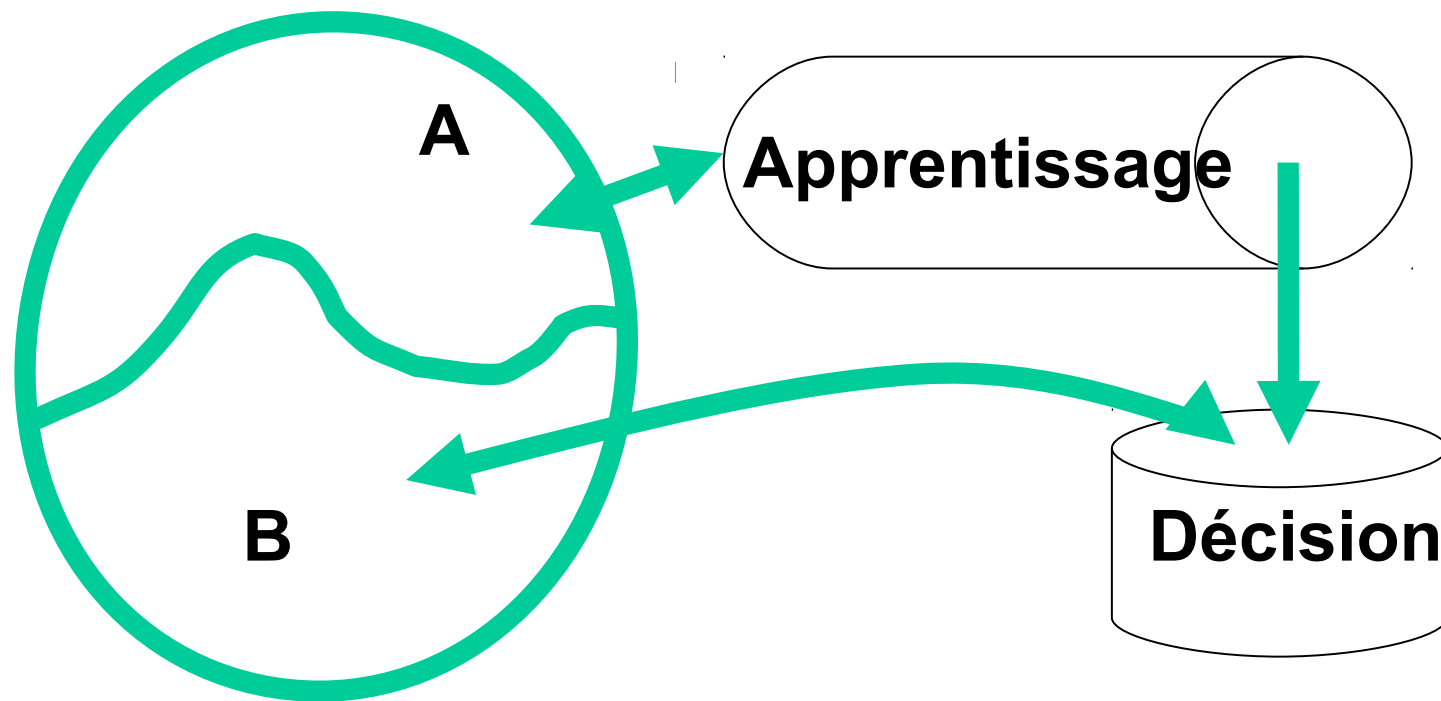
Samy





Systeme de Reconnaissance de Formes Classique

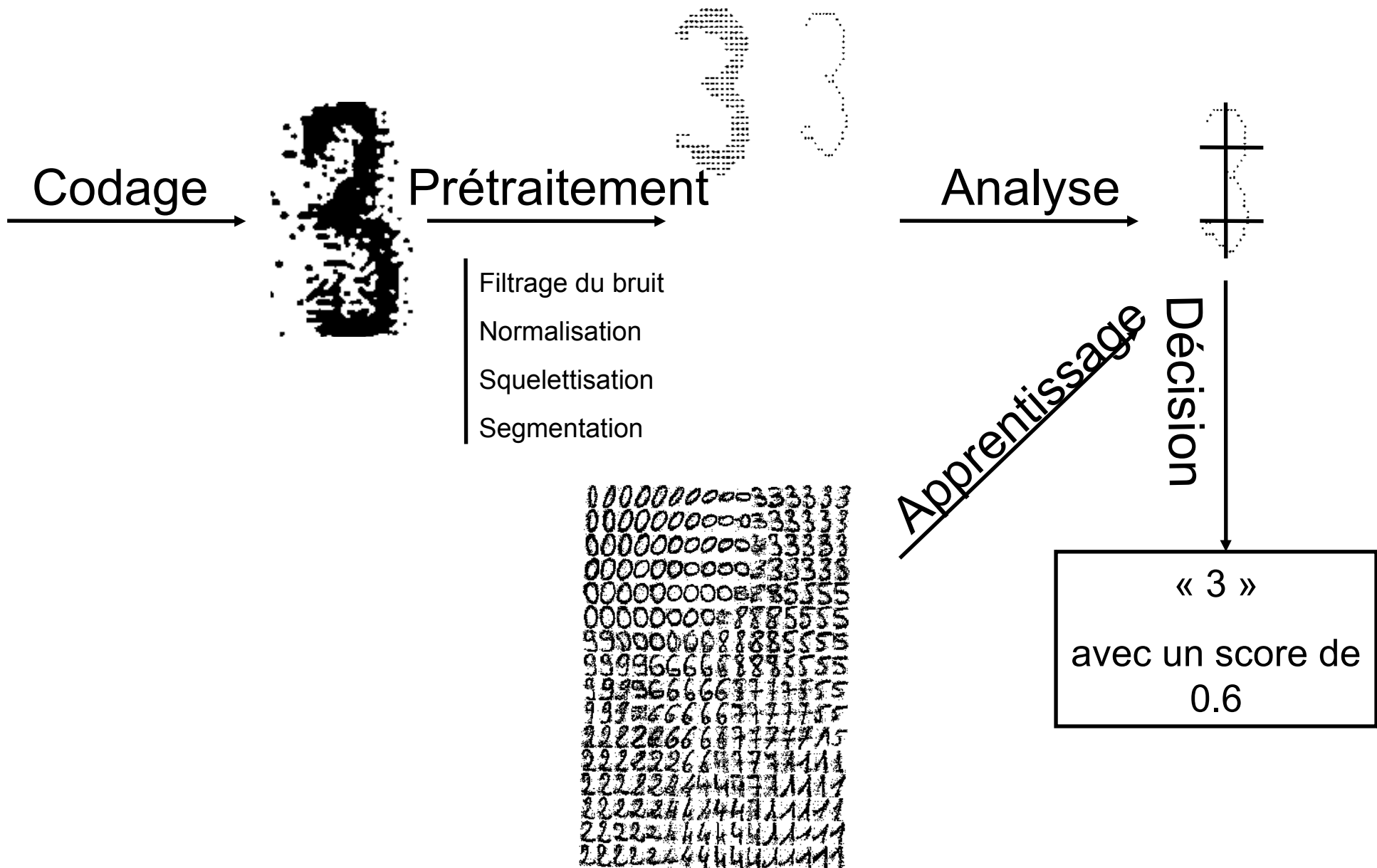




A = Ensemble d'échantillons pour chaque classe

$A = \emptyset \Rightarrow$ Apprentissage Non Supervisé

$A \neq \emptyset \Rightarrow$ Apprentissage Supervisé



On travaille en général sur deux ensembles : un ensemble d'apprentissage A et un ensemble de test T.

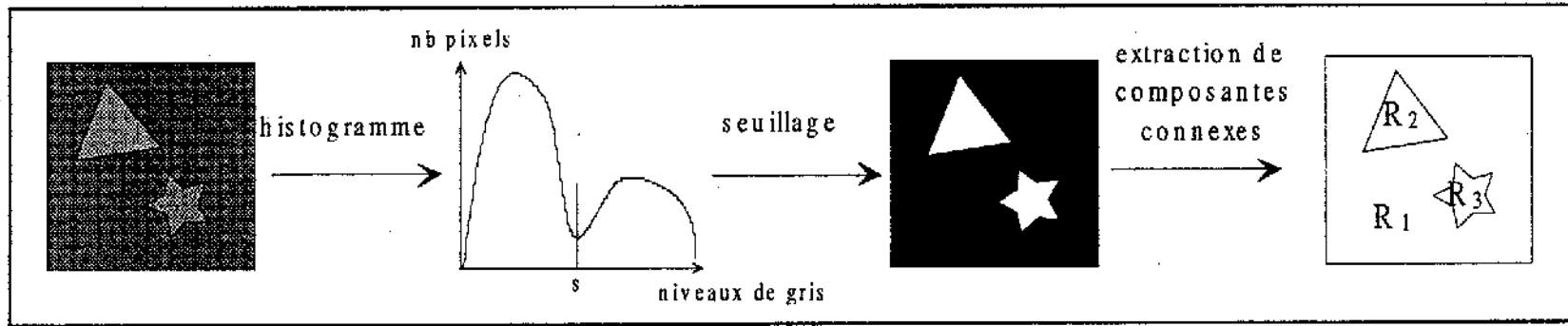
Une estimation du risque réel de l'hypothèse h proposée sur l'ensemble de test T peut être obtenue à partir de la matrice dite de confusion.

Dans le cas binaire par exemple, c'est-à-dire dans le cas du test d'une hypothèse (une classe) indépendamment des autres classes (hypothèses), on a

	'+' prédit	'-' prédit
'+' réel	Vrais positifs	Faux négatifs
'-' réel	Faux positifs	Vrais négatifs

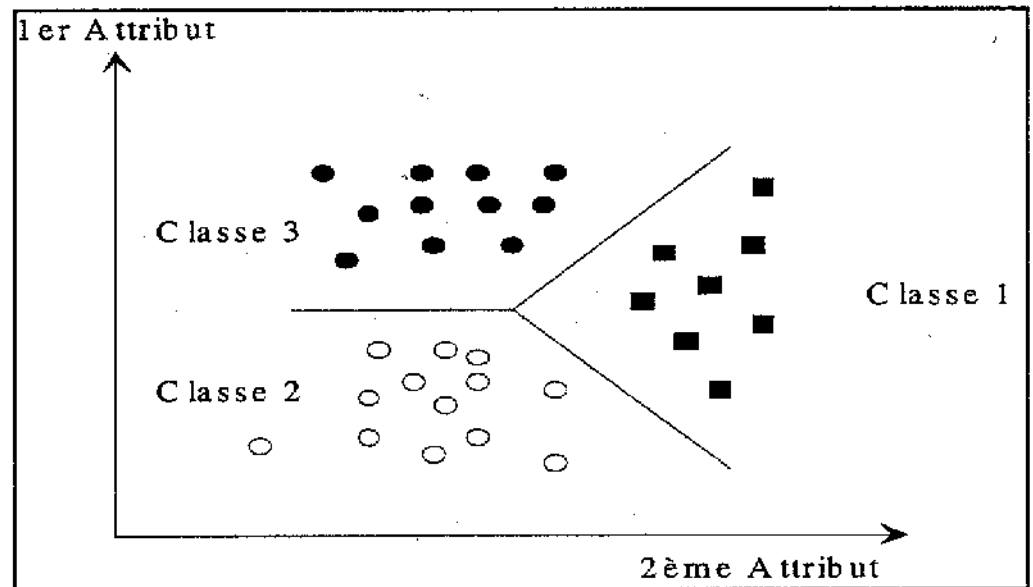
Risque Réel (h) = Somme des termes non diagonaux / Nombre d'exemples
= Somme des exemples mal classés / Nombre d'exemples

Dans le cas NON supervisé, les techniques spécifiques utilisées sont typiques des applications dites de Fouille de Données



Segmentation en régions par seuillage

- **Classification**
- **Segmentation**



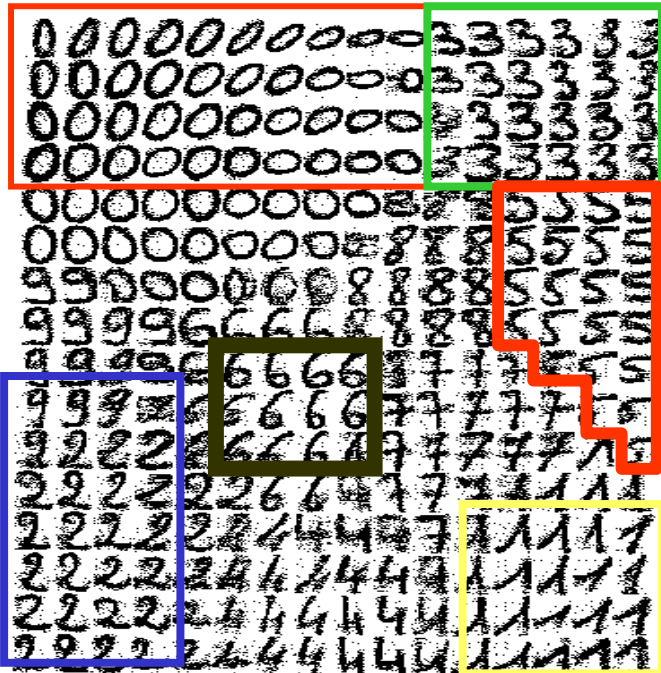
Classification des points dans l'espace des attributs
(3 classes, dimension 2 de l'espace)

Un problème typique visuel qui pourrait relever de la problématique de la Fouille de Données plus que Reconnaissance des Formes

On donne ces données stockées sur des supports électroniques hétérogènes et non centralisés :



Alors sans intervention de type supervisé (cad sans apprentissage avec exemples), le système parvient à détecter (structurer, extraire) la présence de 10 formes différentes sans forcément les reconnaître, ou bien de 4 scripteurs différents sans forcément les identifier dans un premier temps :



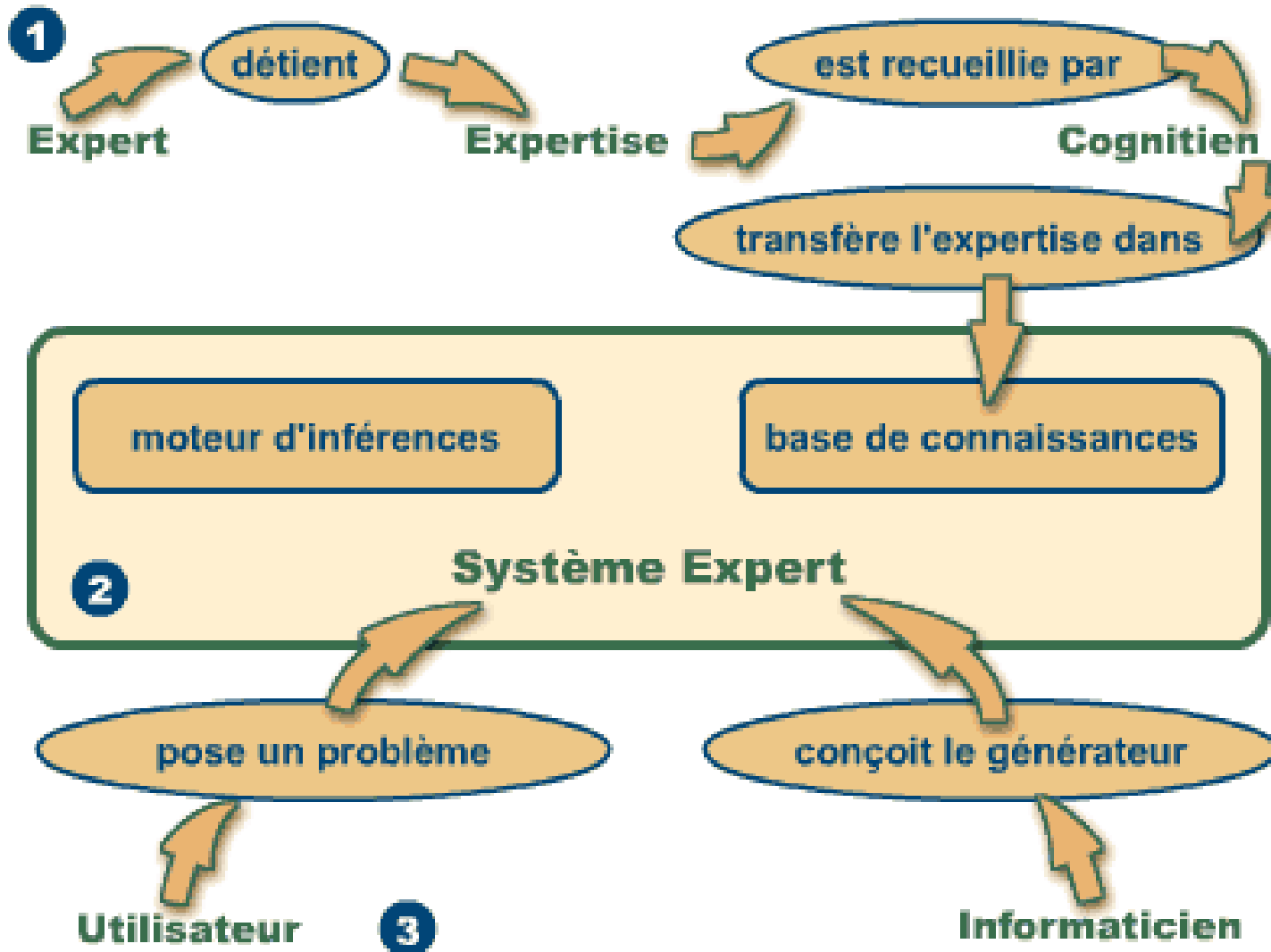
Outre le paradigme de Reconnaissance des Formes, cette intégration nouvelle ou ce paradigme nouveau est la résultante de problématiques arrivées à maturité ou à leur limite comme :

- Les systèmes experts issus de l'IA
- Les bases et les entrepôts de données
- Les protocoles réseaux normalisés

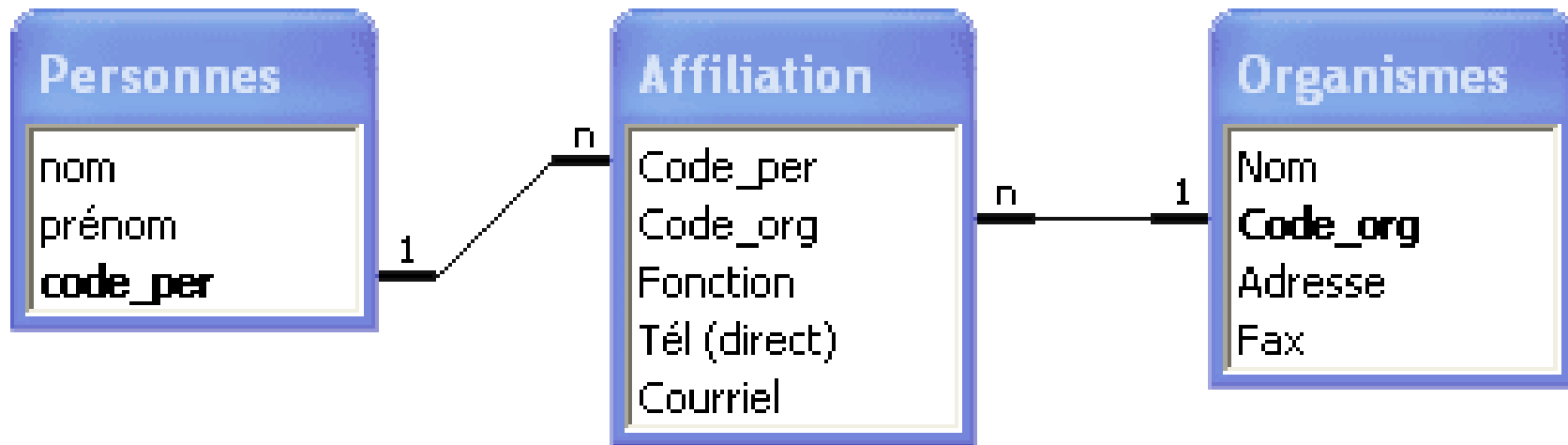
Créer une intelligence des systèmes, avec les potentialités de chacun des outils technologiques intégrés -> le rêve de système pensant plus que pensé

Différence de points de vue entre : SELECTIONNE moi les NOMS des CLIENTS ayant acheté du NUTELLA et du SAVON (requête de type SQL) et je (le logiciel) te (l'utilisateur du logiciel) fais remarquer que les clients qui achète du Nutella achètent aussi du Savon

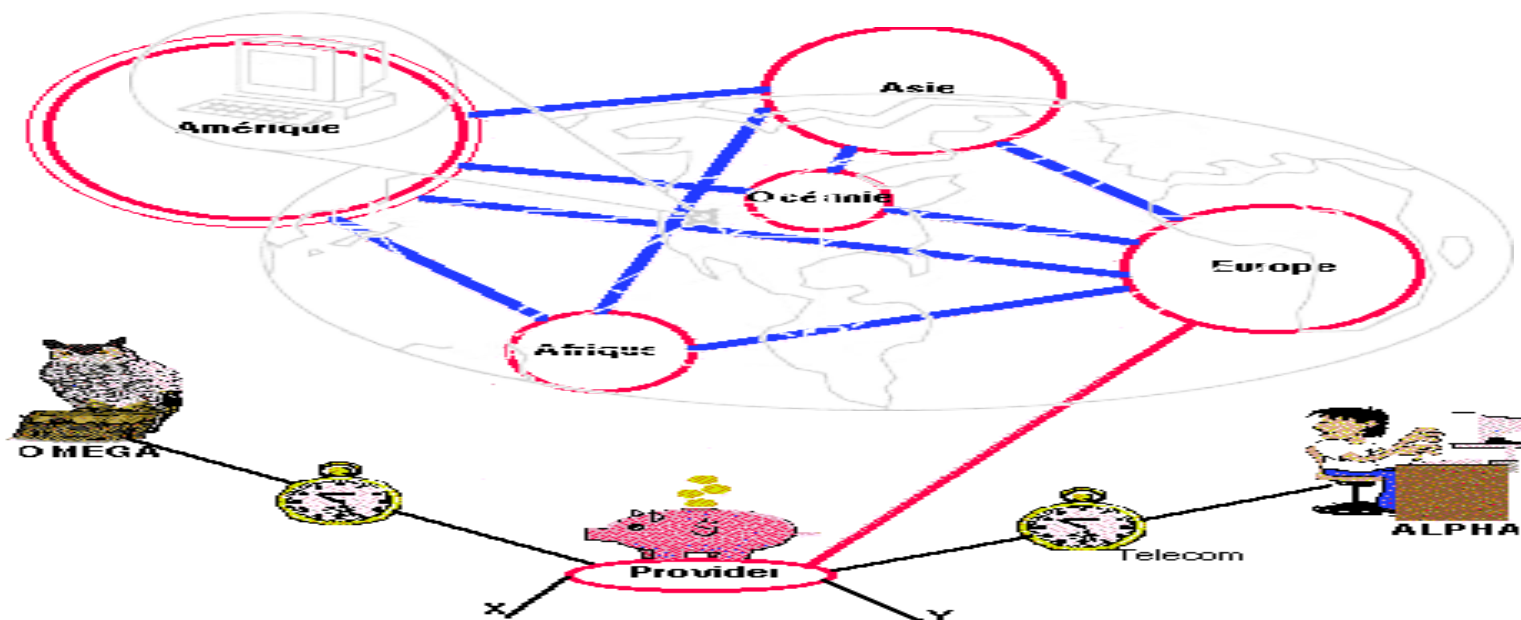
Systeme Expert Classique



Base de Données Classique



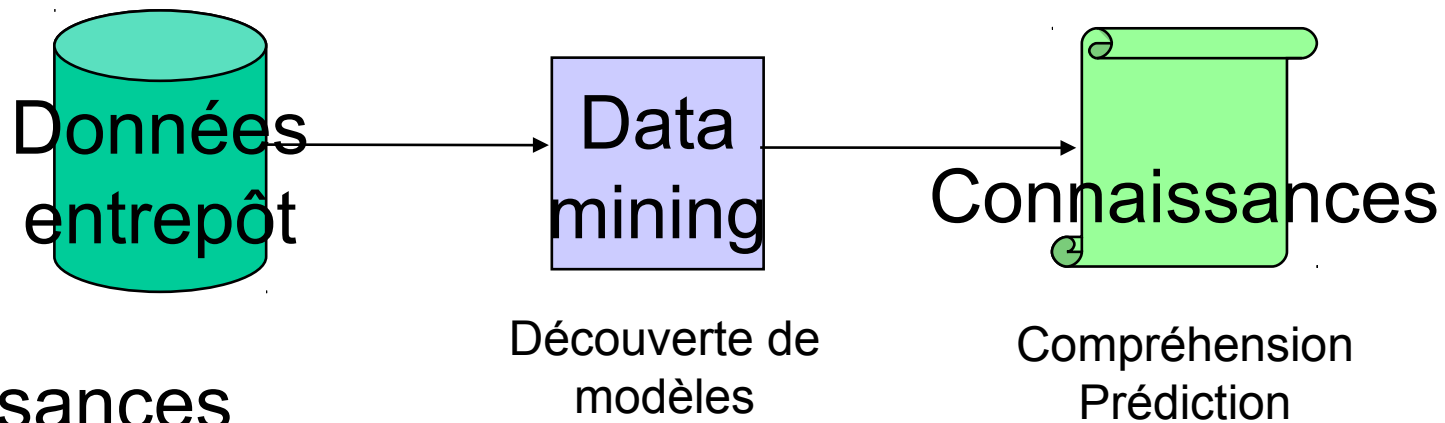
Protocole de Communication Réseau Classique



Qu'est-ce-que le data mining ?

- Data mining

–ensembles de techniques d'exploration de données afin d'en tirer des connaissances (la substantifique moelle) sous forme de modèles présentées à l'utilisateur averti pour examen



- Connaissances

–analyses (distribution du trafic en fonction de l'heure)
–scores (fidélité d'un client), classes (mauvais payeurs)
–règles (**si** facture > 10000 **alors** départ à 70%)

Mécanismes de base

- **Déduction : base des systèmes experts**

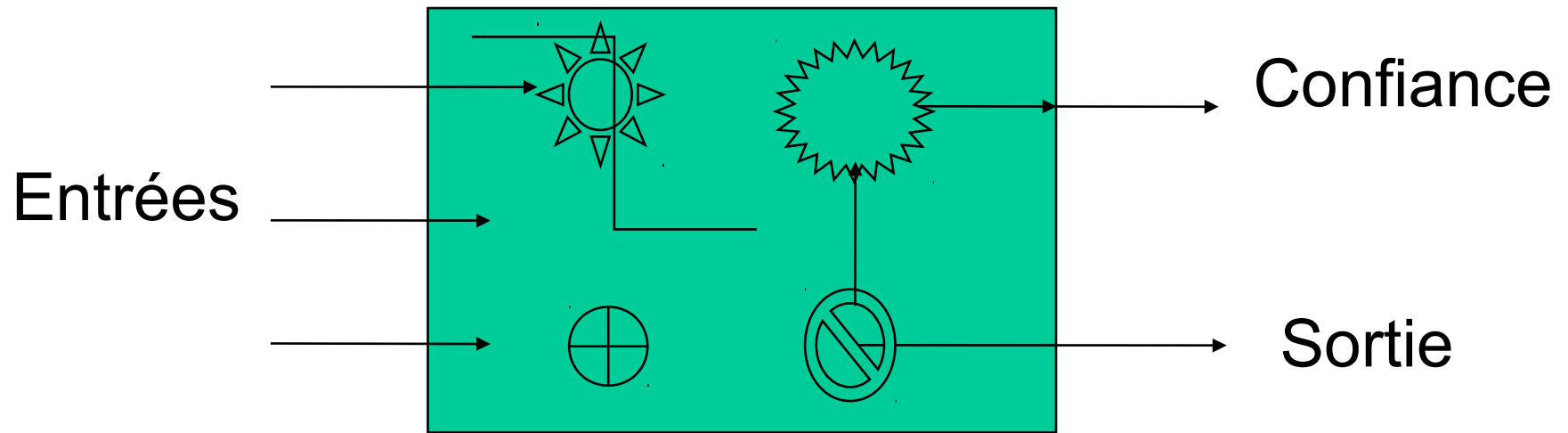
- schéma logique permettant de déduire un théorème à partir d'axiomes
- le résultat est sûr, mais la méthode nécessite la connaissance de règles

- **Induction : base du data mining**

- méthode permettant de tirer des conclusions à partir d'une série de faits
- généralisation un peu abusive
- indicateurs de confiance permettant la pondération

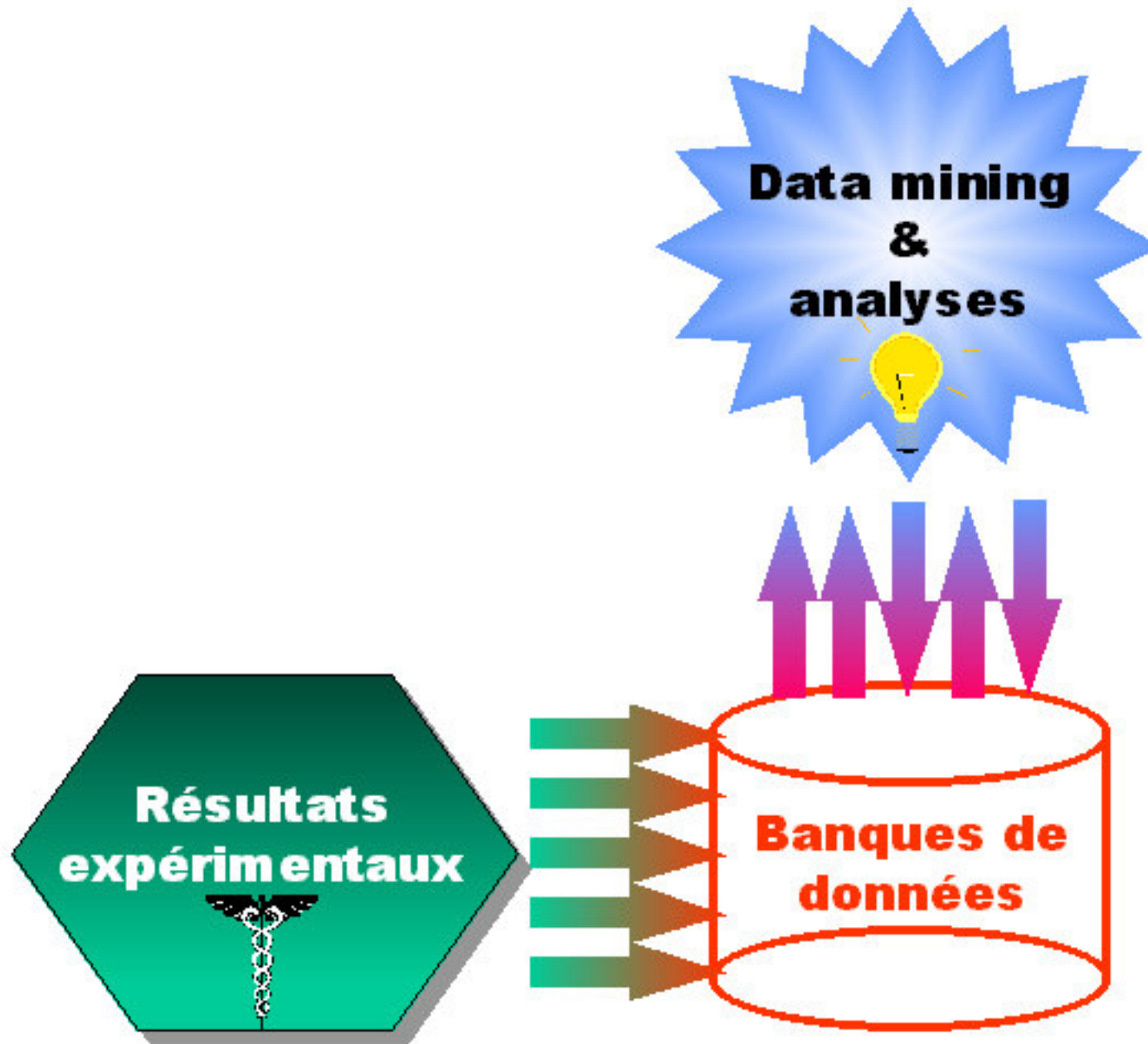
Découverte de modèles

- Description ou prédiction

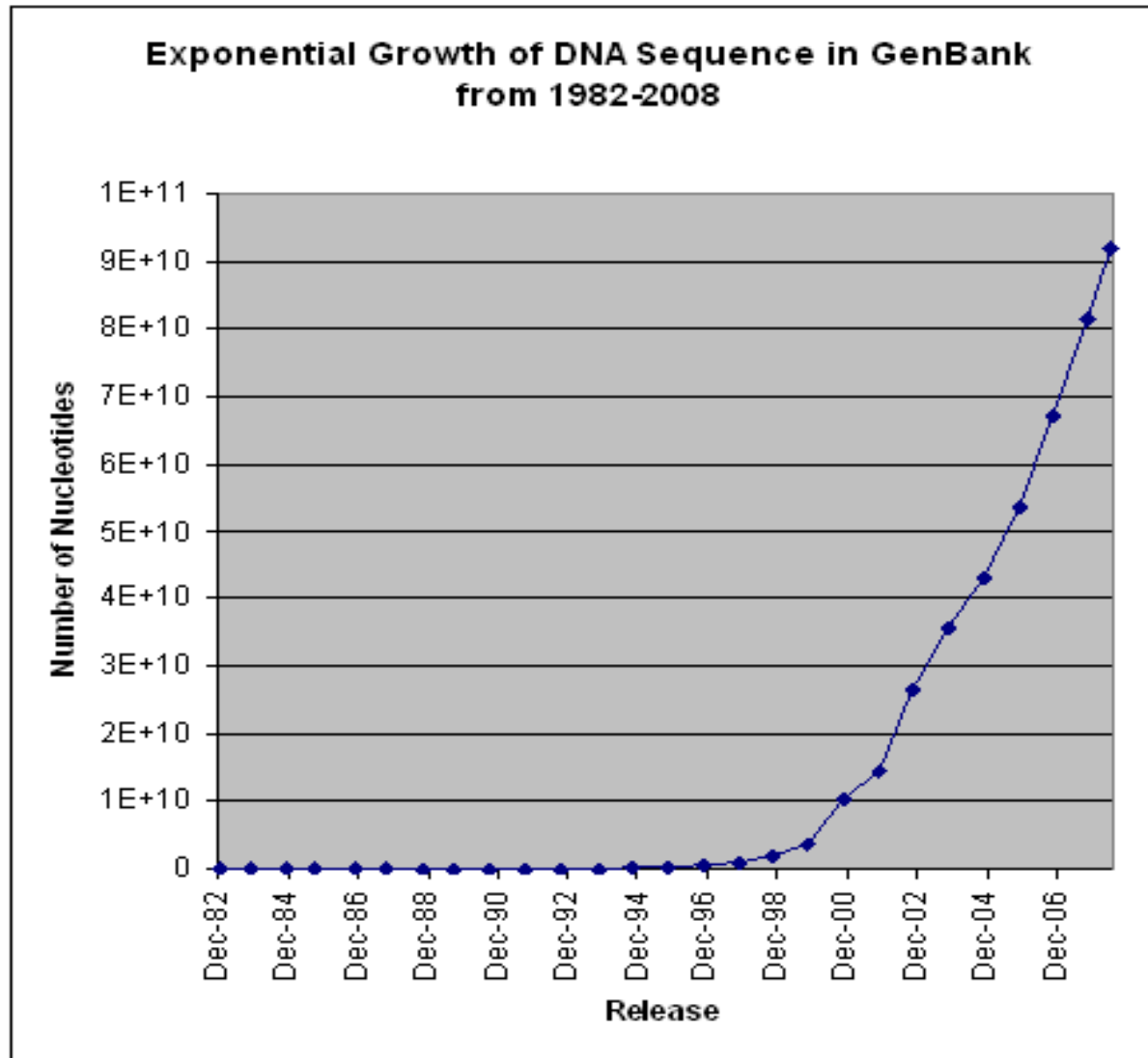


- Apprentissage sur la base
- Utilisation pour prédire le futur
- Exemple : régression linéaire $Y = a X + B$

Le matériel biologique



A ce compte là, il ne s'agit plus d'apprendre donc de reconnaître mais déjà de comprendre donc de structurer

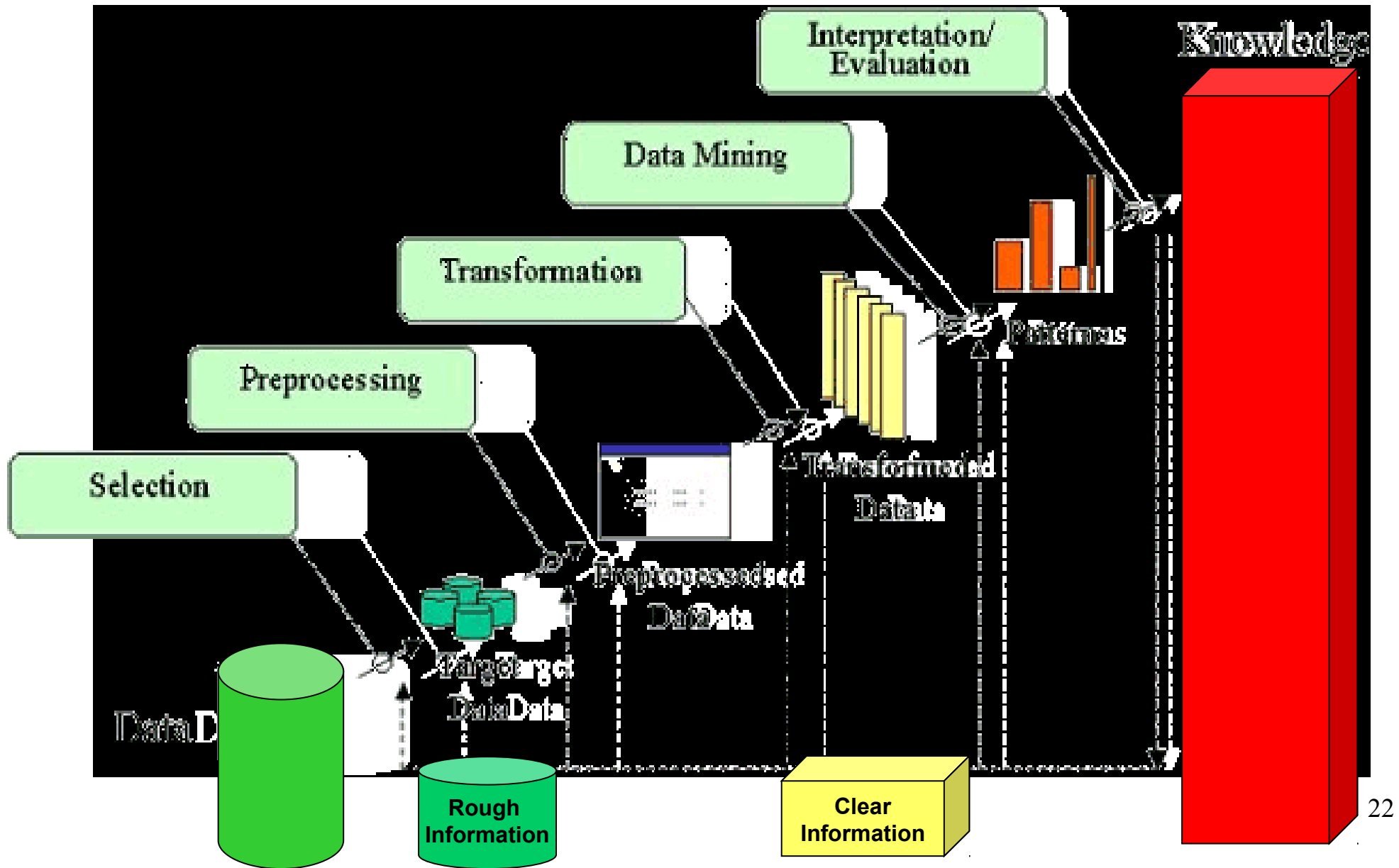


>cDNA inconnu

```
AATGCAAGTGCATGCATGCATGCATCGGATCGTACGGATTGCAGTTCGGATTOATAATAA  
ATGCGTAAAAACAGTAGTTTCACTAGTTTCAAAGTTGCATAACTTGGTGTCTTCTTCT  
GTTTACCCTAACAGTATGGCTGTTTTCGCTGTTGCTGCTGACGGTATACCTTCCCTTAC  
CACGCTAAATACAGTAACGGTGCTATAAGTCCTCTTACGTTACTCAAAGTAGTGGTAAC  
AGTAGTGTTAAAGCTGAATGGGAACAATGGAAAAGTGCTCACATAACTAGTGACCTTAAC  
GGTGCTGGTGGTTACAAATACGTTCAACGTGACATAACGGTAACACTGACGGTGTTAGT  
GAAGGTCTTGGTTACGGTCTTATAGCTACTGTTTGCTTCAACGGTGCTGACAGTAACGCT  
CAAACCTTTACGACGGTCTTACAAATACGTTAAAAGTTTCCCTAGTGCTAACAACCCT  
AACCTTATGGGTTGGCACATAAACAGTAGTAACAACATAACTGAAAAGACGACGGTATA  
GGTGCTGCTACTGACGCTGACGAAGACATAGCTGTTAGTCTTATACTTGGTCAAAAAA  
TGGGGTACTAGTGGTAAATAAACTACCTTAAAGCTGCTCGTGACTACATAAACAAAAAC  
ATATACGCTAAAATGGTTGAACCTAACAACTACACTCTTAAACTTGGTGACATGTGGGGT  
GGTAACGACTTCAAAAACGCTACTCGTCCTAGTTACTTCGCTCCTGCTCACCTTCGTATA  
TTCTACGCTTACACTGGTGACAAAGGTTGGATAAACGTTGCTAACAAACTTACACTACT  
GTTAACGAAGTTCGTAACAAATACGCTCCTAAAAGTGGTCTTCTTCCCTGACTGGTGCGCT  
GCTAACGGTACTCCTGAAAGTGGTCAAAGTTTCGACTACGACTACGACGCTTGCCGTGTT  
CAACTTCGTAAGTACTGCTATAGACTACAGTTGGTACGGTGACGCTCGTGCTGCTGCTCAAAGT  
GACAAAATGAACAGTTTCATAGCTGCTGACACTGCTAAAACCCTAGTAACATAAAAGAC  
GGTTACACTCTTAAACGGTAGTAAAATAAGTAGTAACCACAGTGCTAGTTTCTACAGTCCT  
GCTGCTGCTGCTGCTATGACTGGTACTAACACTGCTTTCGCTAAATGGATAAACAGTGGT  
TGGGACAAAGTTAAAGACAGTAAAAATACGGTACTACGGTGACAGTCTTAAATGCTT  
ATAATGCTTTACATAACTGGTAACTTCCCTAACCTCTTAGTGACCTTAGTAGTCAACCT  
AGTCCTGGTGACCTTAAACGGTGACGGTGAATAGACGAACCTGACATAGCTGCTCTTAAA  
AAAGCTATACTTAAACAAAGTACTAGTAACATAAACCTTACTAACGCTGACATGAACCGT  
GACGGTGCTATAGACGCTAGTGAAGTTCGCTATACTTAAAGTTTACCTTAAAT
```



Un système d'Extraction de Connaissances



Des techniques issus de l'IA et de la RF

Machine learning techniques such as :

- **Arbre de décision**
- **Règles d'association**
- **Réseaux de neurones**
- **Clustering**

Des systèmes combinant les technologies Réseaux et BD

- **SQL**
- **FTP**
- **TCP/IP**
- **Php / mySQL**

Des champs d'applications très diversifiés

- **Commerce – Economie**
- **Web Mining et Marketing**
- **Bio-informatique**
- **Médecine**

Principe global

L'importance pratique et industrielle des procédés d'analyse automatique et intelligente de données, textes, images, sons ou enregistrements électroniques est telle que beaucoup de recherches spécialisées se sont développées.

Nous cherchons ici à en donner une idée et à en dégager les points communs qui sont le propre de la méthodologie de la Fouille de Données.

C'est essentiellement dans la conception des processus de discrimination (ou d'affectation à diverses catégories) que l'on retrouve une méthodologie commune, à quelques variantes près.

En gros une telle fonctionnalité est constituée de plusieurs composantes, correspondant à plusieurs phases de traitement. On en distinguera essentiellement deux, les autres pouvant s'échelonner entre les deux extrêmes :

1. Le prétraitement
2. La découverte de catégories proprement dite

Un fait remarquable en FD est que chaque application fait appel à plusieurs techniques parmi celles présentées ici, avec une interrelation parfois surprenante où l'invention et le flair de l'ingénieurs sont rois.

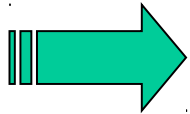
Des algorithmes

Une évolution plus qu'une
révolution

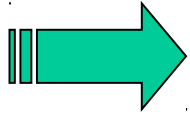
Un cocktail de techniques

Des algorithmes

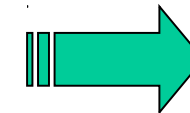
D'inspirations ...



Mathématiques : stat. et AD

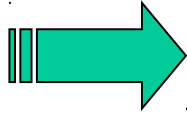


Calculatoires



Biologiques

Des algorithmes



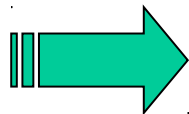
Calculatoires

« *Clustering* »

Arbres de décision

Règles d'association

Programmation dynamique

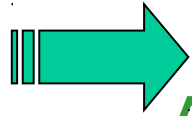


Biologiques

Réseaux de neurones

Algorithmes génétiques

Des algorithmes



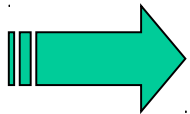
Non Supervisés

Apprentissage *a priori* en mode Découverte

« *Clustering* »

Algorithmes génétiques

Règles d'association



Supervisés

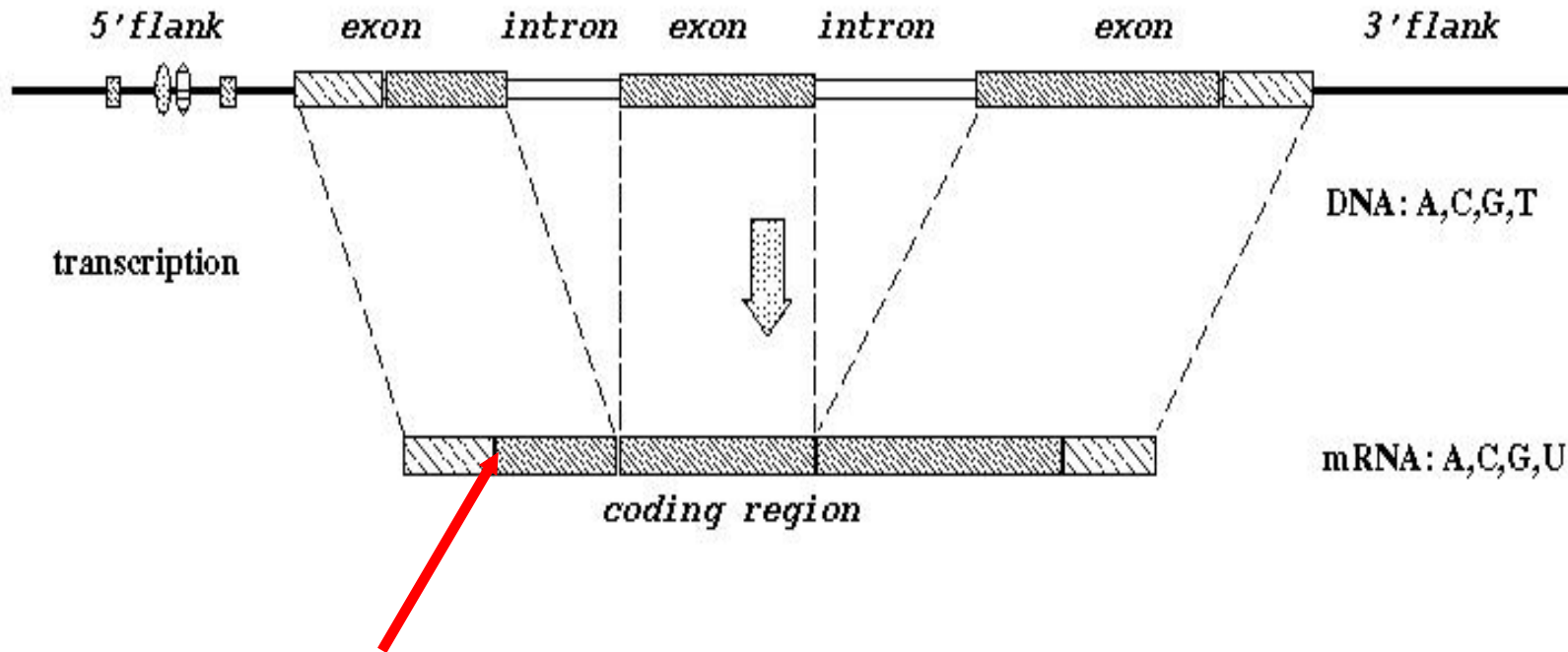
Apprentissage *a posteriori* en mode Reconnaissance -
Prédiction

Réseaux de neurones

Arbres de décision

Programmation dynamique

TIS : Translation Initiation Site Recognition/Prediction



Un échantillon de cDNA

```

299 HSU27655.1 CAT U27655 Homo sapiens
CGTGTGTGCAGCAGCCTGCAGCTGCCCAAGCCATGGCTGAACACTGACTCCCAGCTGTG      80
CCCAGGGCTTCAAAGACTTCTCAGCTTCGAGCATGGCTTTTGGCTGTCAGGGCAGCTGTA      160
GGAGGCAGATGAGAAGAGGGAGATGGCCTTGGAGGAAGGGAAGGGGCCTGGTGCCGAGGA      240
CCTCTCCTGGCCAGGAGCTTCTCCAGGACAAGACCTTCCACCCAACAAGGACTCCCCT
.....                                                                    80
.....iEEEEEEEEEEEEEEEEEEEEEEEEEEEEEEEEEEEEEEEEEEEEEEEEEEEEEEEE      160
EEEEEEEEEEEEEEEEEEEEEEEEEEEEEEEEEEEEEEEEEEEEEEEEEEEEEEEEEEEEEEEE      240
EEEEEEEEEEEEEEEEEEEEEEEEEEEEEEEEEEEEEEEEEEEEEEEEEEEEEEEEEEEEEEEE
    
```

Pourquoi le second ATG est-il un TIS?

A partir de ARNm, ADNc et séquence ADN.

TIS : règle simple du premier AUG (ou ATG si ADN traité) chez les eucaryotes. Mais pas toujours. En plus, erreurs en particulier dans EST + processus biologique de la traduction pas complètement compris.

```
299 HSU27655.1 CAT U27655 Homo sapiens
CGTGTGTGCAGCAGCCTGCAGCTGCCCAAGCCATGGCTGAACACTGACTCCCAGCTGTG 80
CCCAGGGCTTCAAAGACTTCTCAGCTTCGAGCATGGCTTTTGGCTGTCAGGGCAGCTGTA 160
GGAGGCAGATGAGAAGAGGGAGATGGCCTTGGAGGAAGGGAAGGGGCCTGGTGCCGAGGA 240
CCTCTCCTGGCCAGGAGCTTCCTCCAGGACAAGACCTTCCACCCAACAAGGACTCCCCT
..... 80
.....iEEEEEEEEEEEEEEEEEEEEEEEEEEEEEEEEEEEE 160
EEEEEEEEEEEEEEEEEEEEEEEEEEEEEEEEEEEEEEEEEEEEEEEEEEEEEEEEEEEE 240
EEEEEEEEEEEEEEEEEEEEEEEEEEEEEEEEEEEEEEEEEEEEEEEEEEEEEEEEEEEE
```

Fig. 1. An example annotated sequence from the dataset of Pedersen and Nielsen. The 4 occurrences of ATG are underlined. The second ATG is the TIS. The other 3 ATGs are non-TIS. The 100 nucleotides upstream of the TIS are marked by an overline. The 100 nucleotides downstream of the TIS are marked by a double overline. The “.”, “i”, and “E” are annotations indicating whether the corresponding nucleotide is upstream (.), TIS (i), or downstream (E).

Dans cette base, 13375 sites ATG, 25 % sont des vrais TIS.

On garde 100 nucléotides *upstream* et 100 nucléotides *downstream* autour de chaque site potentiel pour essayer de prédire la structure contextuelle expliquant la classification Vrai *TIS* / Faux *TIS*.

Du perceptron, au réseau de neurones artificiels jusqu'aux SVM voir un cours de Machine Learning.

Idée de base :

1. Coder les nucléotides avec un codage binaire par exemple

A : 00

C : 01

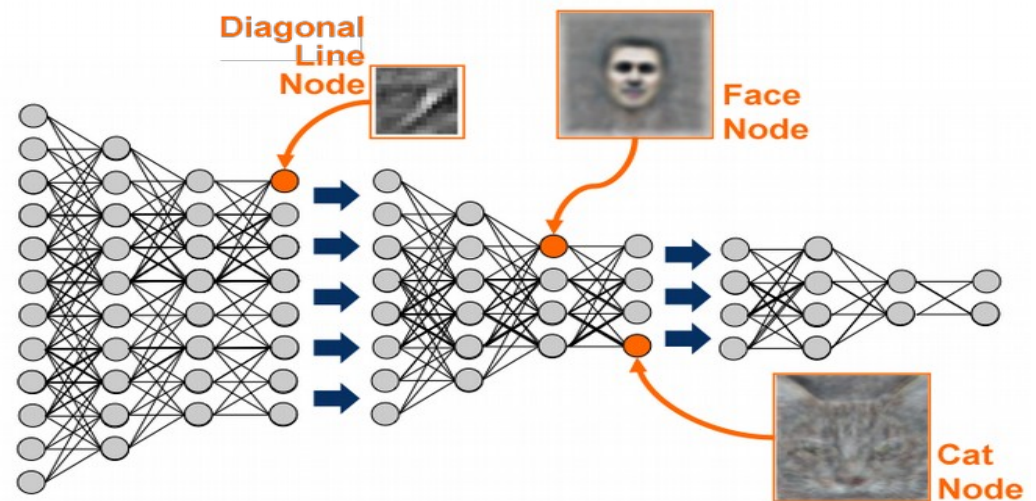
G : 10

T : 11

2. Constituer un vecteur de codage numérique (binaire dans ce cas)

00110001010011000010011_TIS_00010100010001010001

3. Nourrir un réseau de neurones plus ou moins sophistiqué pour qu'il apprenne à partir d'exemples : Grand Renouveau actuel de cette modélisation : *Deep Learning*, Yann Le Cun, un Frenchie, à New York, Facebook lab.



→ Un peu boîte noire, mais efficace, et nécessite une interprétation des résultats *a posteriori*.

Des techniques plus **explicatives** par *k-gram* etc. et approches génération de caractéristiques, sélection de caractéristiques et intégration de caractéristiques.

Feature Generation : le codage finalement

k-gram : ici suite de *k* lettres

Si $k=3$, 4^k combinaisons de trois lettres (cas du codon)

Un « *feature* » peut être un *k-gram* et sa fréquence d'apparition dans le fragment *upstream* et/ou *downstream*, *in-frame* ou non etc.

On construit un vecteur de caractéristiques de *k-gram* et de leurs occurrences pour *k* variant entre 1 et 5 par exemple : à la fin on a un vecteur à 4 436 composantes par exemple.

Feature Selection : le filtrage intelligent

(significatif du point de vue du signal, éventuellement biologique)

On ne garde que des caractéristiques semblables caractéristiques de la classe *TIS*/ Non *TIS* par techniques de corrélations croisées par exemple. Ici on ne retient que 9 « *features* » par exemple.

Feature integration : la décision / l'algorithme

de classification/prédiction

Sur les 9 caractéristiques précédents on entraîne un SVM

(séparateur linéaire sophistiqué), un C4.5 (arbre de décision),

un classificateur Naïf Bayésien etc. (voir Weka) et on obtient un prédicteur *in silico*.

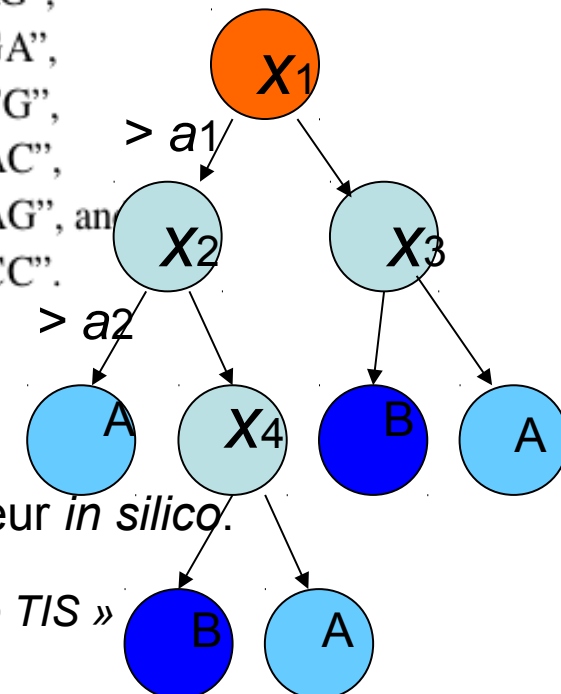
« if up-ATG = Y and down-STOP > 0 then prediction is false TIS »

« if up3-AorG = N and down-STOP <= 0 and up3-AorG = Y, then prediction is true TIS »

Reste comme toujours à interpréter biologiquement. (Séquence consensus de Kozak : GCC[AG]CCAUGG, îlots CpG (C.G) etc.)

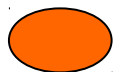
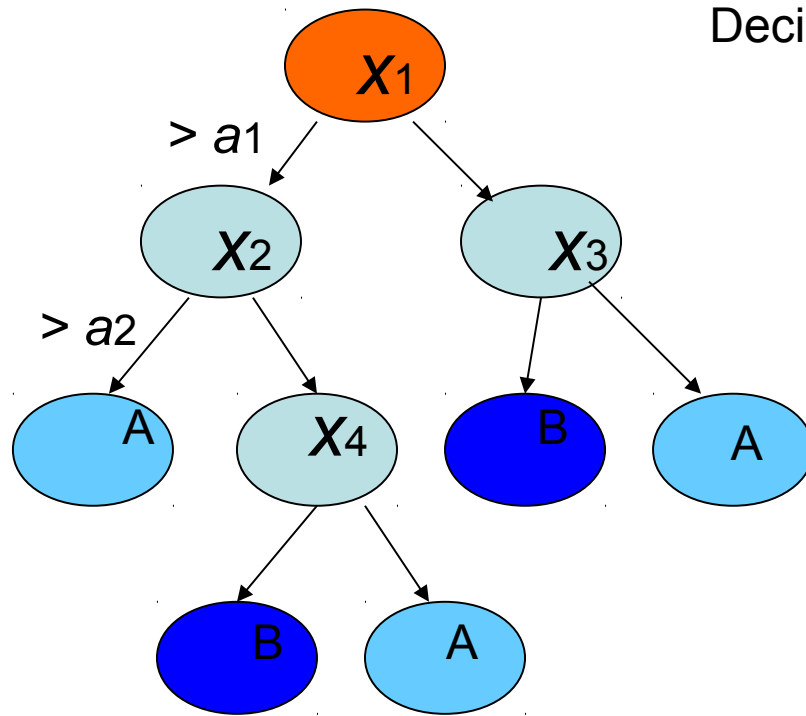
- (1) "position-3",
- (2) "in-frame upstream ATG",
- (3) "in-frame downstream TAA",
- (4) "in-frame downstream TAG",
- (5) "in-frame downstream TGA",
- (6) "in-frame downstream CTG",
- (7) "in-frame downstream GAC",
- (8) "in-frame downstream GAG", and
- (9) "in-frame downstream GCC".

The Curse of Dimensionality In Classification

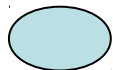


Prognosis based on Gene Expression Profiling

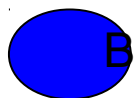
Decision Tree Based In-Silico Cancer Diagnosis



Root node



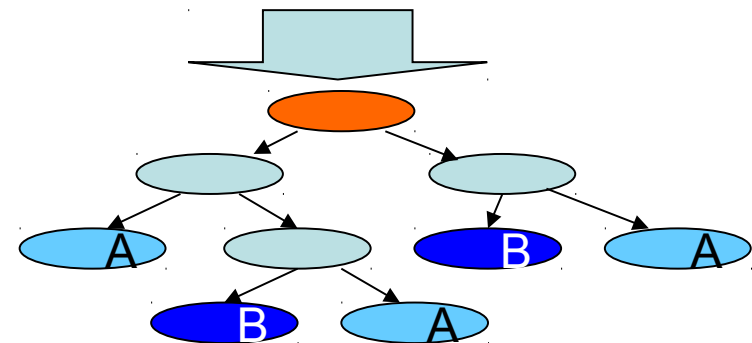
Internal nodes

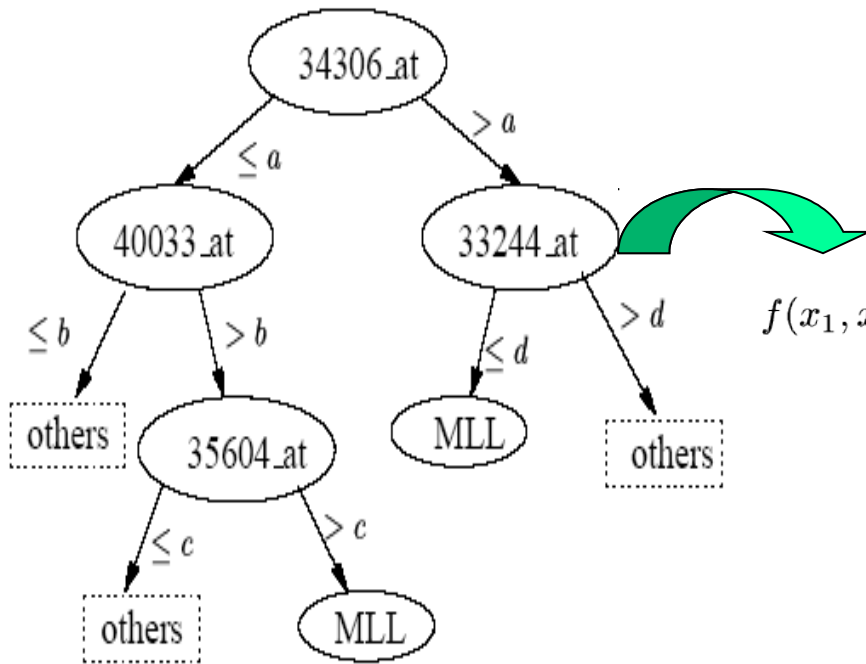


Leaf nodes



GKQVVS	[EH][M][L][G][K][Q]VS	3.7452	1055	3	82	3.823908	7.50515	0.0259084	0.2935175	1.8660625
P[M]D[P]P	[P][D][P]L	4.3248	12	13	6	6.20412	5.602059	0.0384615	0.4540838	1.1737896
AAS[F]	P[M][E][M][A][S][F]	3.1725	37	100	65	5.602059	4.90309	0.0175676	0.1845499	1.1114275
D[E]H[E]G	[Q][D][G][M]I	3.6243	38	11	10	5.602059	6.20412	0.0239234	0.2824445	0.9382602
[E]H[Q]LP	[M][E]H[K][F]I	2.3216	126	317	392	5.124938	4.60206	0.0098142	0.095463	0.8223861
GV[F]S	P[E]H[P	1.8912	795	92	534	3.60206	4.90309	0.0073011	0.0620967	0.562639
D[Q]LQ	[S]T[D][E]H[A	1.655	130	388	313	4.60206	4.60206	0.0062054	0.0571152	0.4734859
L[F]QVLK	L[F]Q[M]LK	2.8855	23	12	4	5.90309	6.20412	0.0144928	0.1754668	0.3509336
[M]T[M]K	A[E]H[M][F]I	2.4993	3	150	5	6.602059	4.60206	0.0111111	0.1244902	0.2890573
P[L]M[F]Q	P[P]L[M][F]Q	2.346	25	20	5	5.590907	5.726998	0.01	0.1127791	0.2618648
HKRTD	E[FE]K[EG]R[CH]KRTD	10.9783	1	4	4	22.11751	10.864269	1	32.981779	65.963658





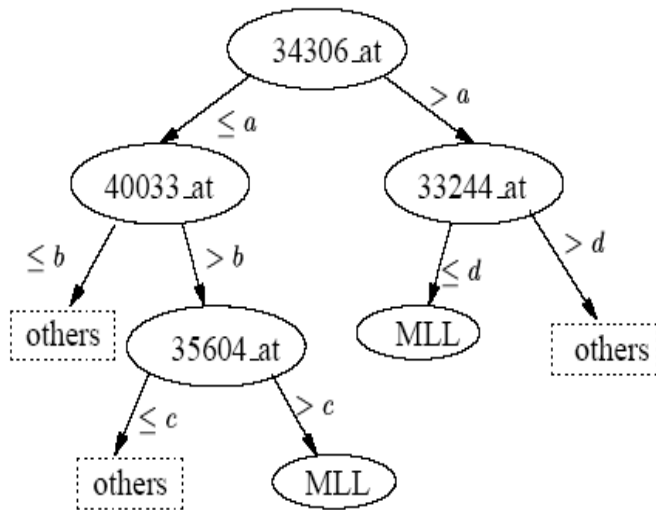
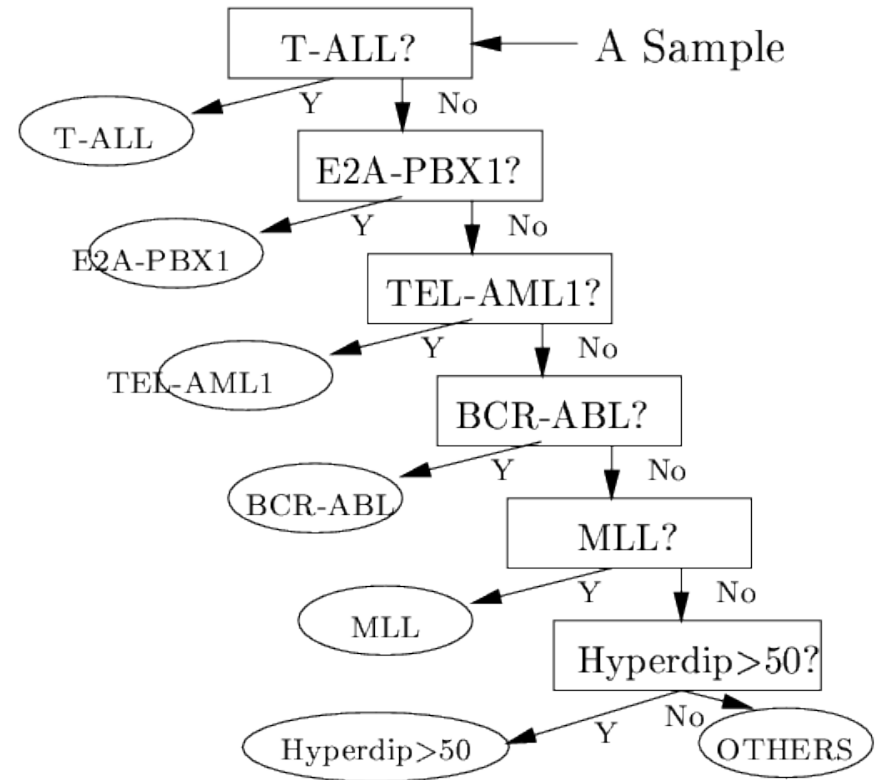
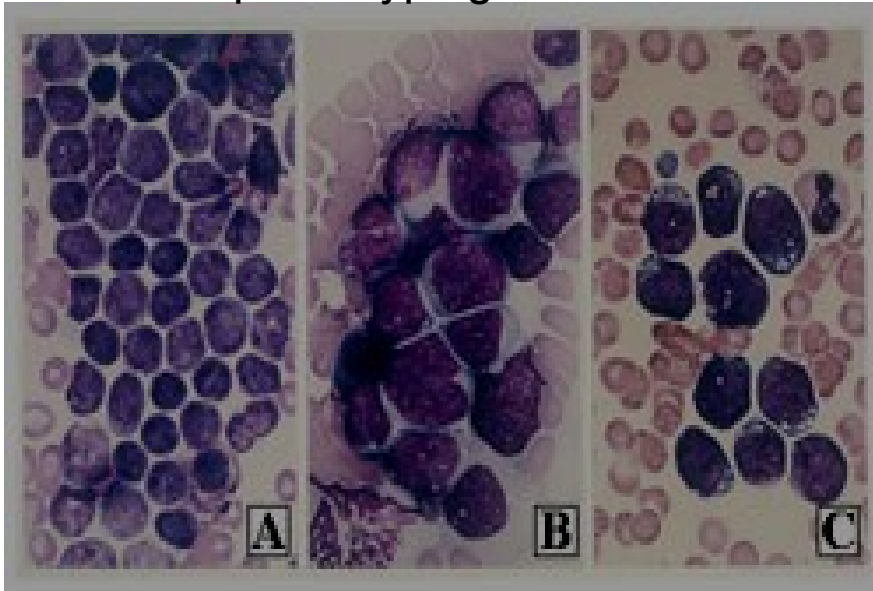
$$f(x_1, x_2, x_3, x_4) = \begin{cases} -1 & \text{if } x_1 \leq a, x_2 \leq b \\ -1 & \text{if } x_1 \leq a, x_2 > b, x_3 \leq c \\ 1 & \text{if } x_1 \leq a, x_2 > b, x_3 > c \\ 1 & \text{if } x_1 > a, x_4 \leq d \\ -1 & \text{if } x_1 > a, x_4 > d \end{cases}$$

Given a test sample, at most 3 of the 4 genes' expression values are needed to make a decision!

- Yeoh et al., *Cancer Cell* 1:133-143, 2002; Differentiating MLL subtype from other subtypes of childhood leukemia
- Training data (14 MLL vs 201 others), Test data (6 MLL vs 106 others), Number of features: 12558

Diagnosis of Childhood Acute Lymphoblastic Leukemia (ALL) and Optimization of Risk-Benefit Ratio of Therapy

Immunophenotyping



$$f(x_1, x_2, x_3, x_4) = \begin{cases} -1 & \text{if } x_1 \leq a, x_2 \leq b \\ -1 & \text{if } x_1 \leq a, x_2 > b, x_3 \leq c \\ 1 & \text{if } x_1 \leq a, x_2 > b, x_3 > c \\ 1 & \text{if } x_1 > a, x_4 \leq d \\ -1 & \text{if } x_1 > a, x_4 > d \end{cases}$$

Yeoh et al., *Cancer Cell* 1:133-143, 2002;
 Differentiating MLL subtype from other subtypes of childhood leukemia. Training data (14 MLL vs 201 others), Test data (6 MLL vs 106 others), Number of features: 12558

Given a test sample, at most 3 of the 4 genes' expression values are needed to make a decision!

A. G. Hatzigeorgiou. Translation initiation start prediction in human cDNAs with high accuracy. *Bioinformatics*, 18(2):343–350, 2002.

Précision globale de 94 %

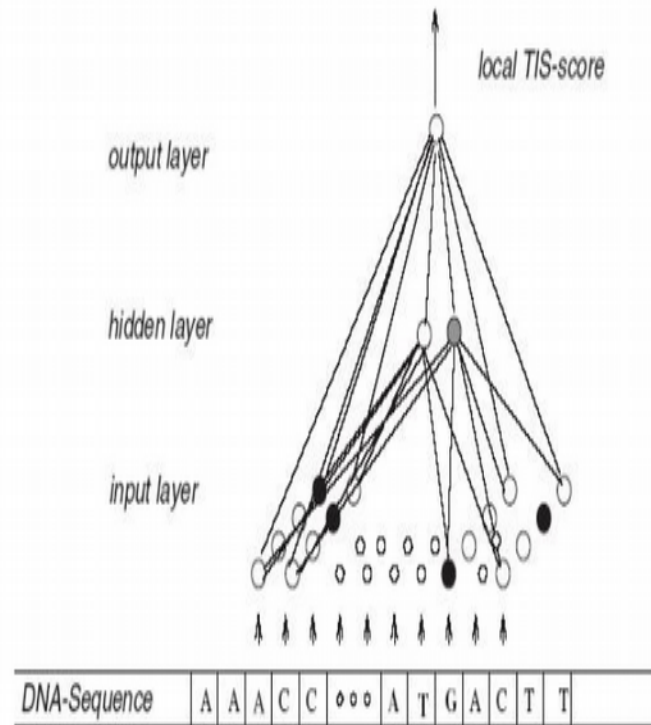


Fig. 4. The consensus ANN of DIANA-TIS. A window of 12 nucleotides is presented to the trained ANN. A high score at the output indicates a possible TIS. (Image credit: Artemis Hatzigeorgiou.)

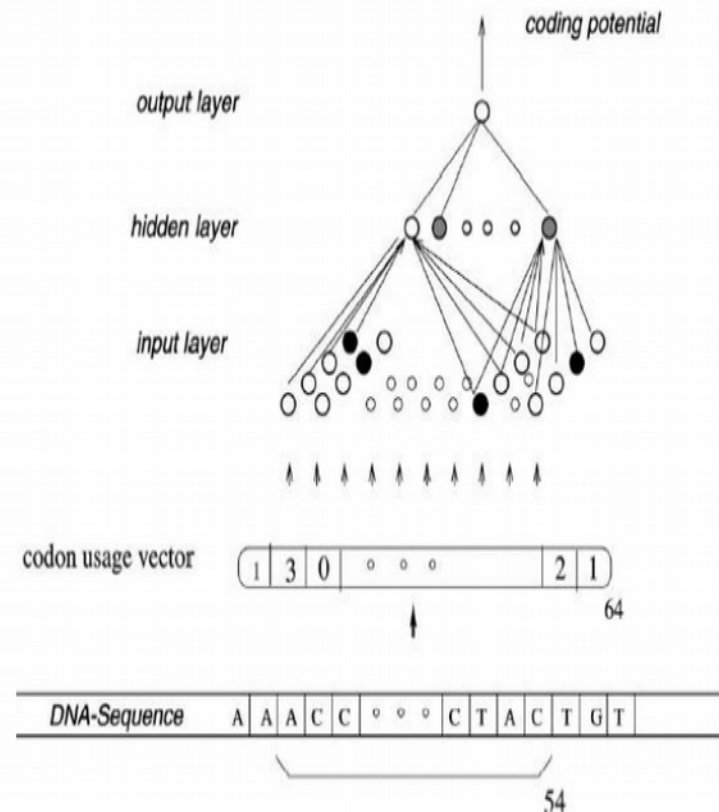
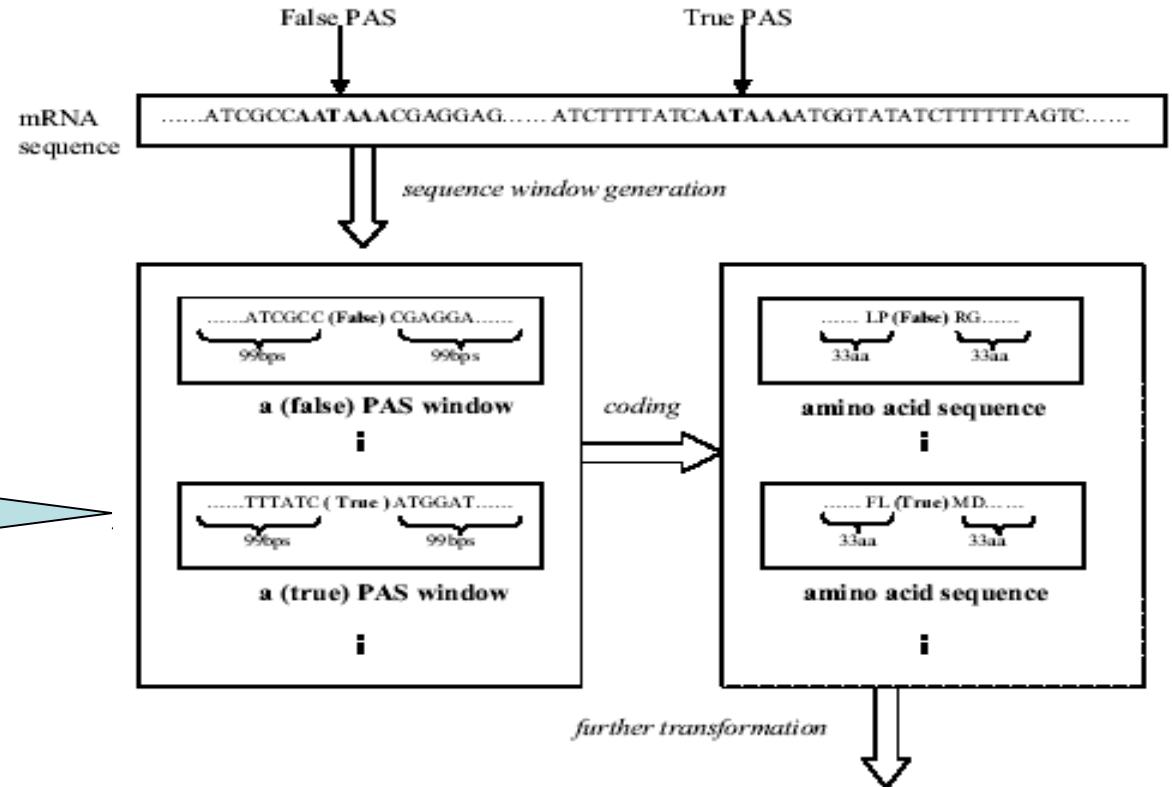
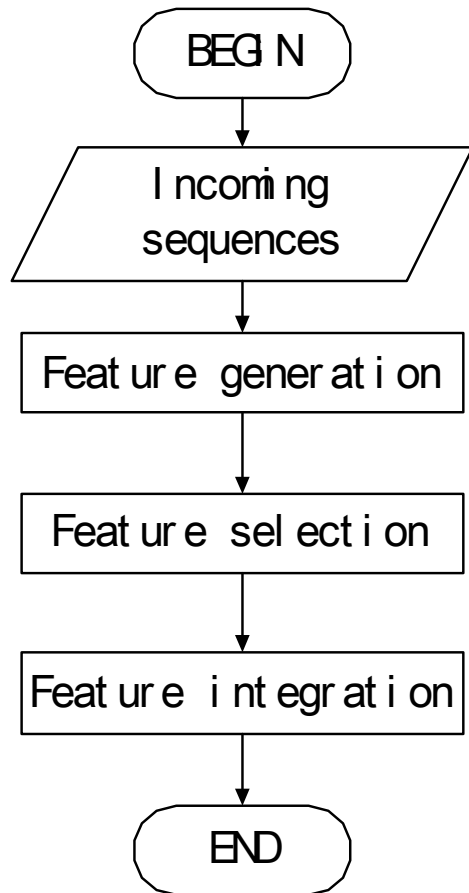


Fig. 5. The coding ANN of DIANA-TIS. A window of 54 nucleotides is presented to the trained ANN. A high score at the output indicates a coding nucleotide. (Image credit: Artemis Hatzigeorgiou.)

PAS Prediction



New feature space (total of 925 features + class label)			
42 1-gram amino acid patterns	882 2-gram amino acid patterns	1 bio-knowledge pattern	class label
UP-A, UP-R, ..., UP-N, DOWN-A, DOWN-R, ..., DOWN-N (numeric type)	UP-AA, UP-AR, ..., UP-NN, DOWN-AA, DOWN-AR, ..., DOWN-NN (numeric type)	UP-T-number (numeric type)	True, False
Frequency as values			
1, 3, 5, 0, 4, ...	6, 2, 7, 0, 5, ...	10,	False
!	!	!	!
6, 5, 7, 9, 0, ...	2, 0, 3, 10, 0, ...	50,	True
⋮	⋮	⋮	⋮